## 4 EXTENSÃO DAS FORMULAÇÕES AO PROBLEMA DO ACOPLAMENTO FLUIDO-MECÂNICO

Neste capítulo são apresentadas as equações governantes do acoplamento fluido-mecânico para um corpo cortado por uma descontinuidade. As equações adotam a formulação apresentada por Lewis e Schrefler (1982) que, por sua vez, foi desenvolvida segundo a Teoria da Poroelasticidade de Biot (1941).

Idealiza-se o corpo ou o meio poroso submetido a um regime de pequenas deformações com o fluxo obedecendo à lei de Darcy. Admitindo que a deformação da matriz rochosa seja pequena, o fluxo é descrito em termos do valor absoluto da velocidade do fluido e não pela diferença de velocidades entre fluido e grãos. Além disso, considera-se que o fluido provoca apenas uma variação volumétrica nos grãos do meio poroso e que os valores de tensão cisalhante no fluido são desprezíveis.

Adotando essas hipóteses, as equações de equilíbrio mecânico e de fluxo de fluido, vistas separadamente nos capítulos 2 e 3, são agora acopladas por meio da introdução de termos relativos à deformação volumétrica do esqueleto sólido e pela aplicação do Princípio da Tensão Efetiva. Exceto pela inserção desses termos, nenhuma outra alteração é feita nas equações ou na aproximação dos campos de deslocamento e poro-pressão.

Ao acoplar as equações do elemento enriquecido, são mantidas as hipóteses de salto de poro-pressão através da direção normal e a variação suave de poro-pressão ao longo da direção tangencial. Características essas que são presentes no meio geológico devido ao contraste de propriedades físicas e reduzida espessura da descontinuidade.

Cabe ressaltar que a principal diferença da formulação do elemento enriquecido para aquela apresentada por de Borst et al (2008) é a descrição do fluxo nas direções normal e tangencial à descontinuidade física. Em sua formulação, de Borst et al (2008) tratou apenas do fluxo tangencial. Como mencionado na seção de revisão bibliográfica, a ausência do salto de poro-

pressão, associado ao fluxo normal, pode conduzir a um menor esforço aplicado na descontinuidade física e, consequentemente, a uma menor deformação da descontinuidade física.

## 4.1. Equação de equilíbrio

O acoplamento da equação de equilíbrio com o fluxo de fluido para um corpo cortado por uma descontinuidade é obtido pela introdução do Princípio de tensão efetiva. Aplicado à descontinuidade e à região fora dela, o Princípio permite relacionar a deformação do meio poroso à variação de poro-pressão que ocorre nele. De acordo com a expressão (2.44), a equação de equilíbrio para um corpo cortado por uma descontinuidade tem a forma:

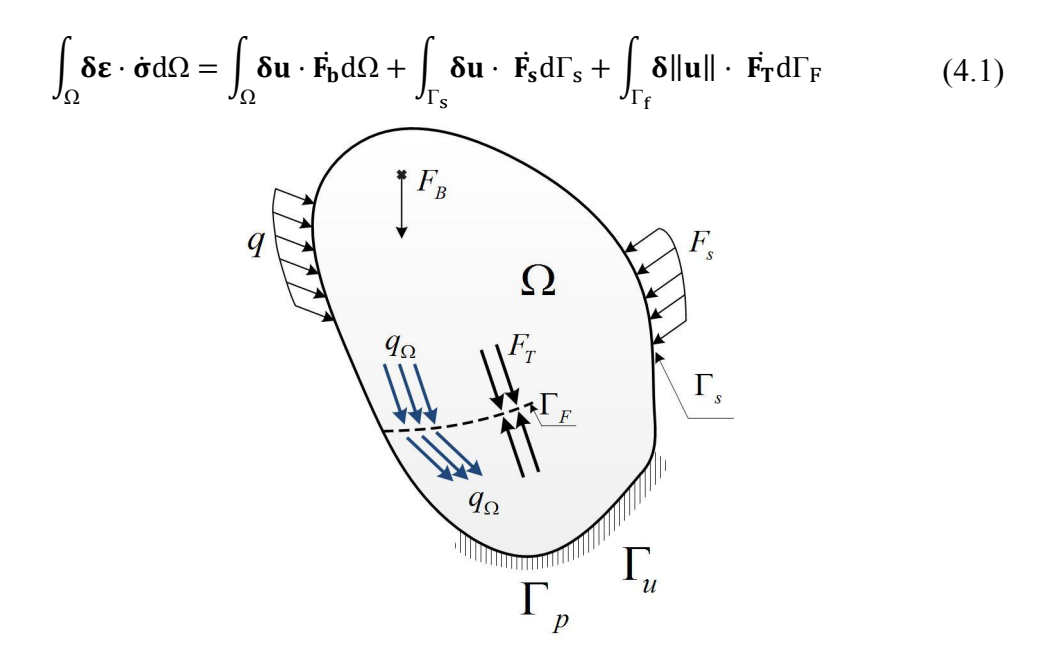


Figura 4-1: Meio poroso parcialmente seccionado por uma descontinuidade

A Figura 4-1 mostra o domínio  $\Omega$  e o contorno  $\Gamma_F$  como a representação de um meio poroso seccionado por uma descontinuidade e preenchido por um fluido. Se o Princípio da Tensão Efetiva é aplicável ao meio poroso  $\Omega$  (região fora da descontinuidade), o Princípio é igualmente aplicável sobre o contorno  $\Gamma_F$  (descontinuidade). Desta forma, as variáveis da equação (4.1) passam ser interpretadas como:

 $\dot{\sigma}$  – incremento do vetor tensão total no domínio  $\Omega$ ;

 $\vec{F}_b$  - incremento do vetor força de massa;

 $\vec{\mathbf{F}}_{\mathbf{s}}$  - incremento do vetor força de superfície no contorno  $\Gamma_{\mathbf{s}}$ ;

 $\vec{F}_T$  - incremento do vetor força de superfície total na descontinuidade;

δε – vetor de variação virtual de deformação;

δu – vetor de variação virtual de deslocamento;

 $\delta \|\mathbf{u}\|$  – vetor de variação virtual de salto de deslocamento.

Admitindo esta interpretação e, temporariamente, adotando a convenção de que a tensão de tração é positiva, os incrementos  $\dot{\sigma}$  e  $\vec{F}_T$  podem ser decompostos de acordo com a expressão (4.2).

$$\dot{\boldsymbol{\sigma}} = \dot{\boldsymbol{\sigma}}' - \mathbf{m}\dot{\mathbf{p}}$$

$$\dot{\mathbf{F}}_{T} = -1 \cdot (\dot{\mathbf{F}}_{T}' - \mathbf{m}_{F}\dot{\mathbf{p}})$$
(4.2)

Sendo:

 $\mathbf{m} = \begin{bmatrix} 1 & 1 & 0 \end{bmatrix}$  para corpos bidimensionais,  $\mathbf{m} = \begin{bmatrix} 1 & 1 & 1 & 0 & 0 & 0 \end{bmatrix}$  para corpos tridimensionais.

Onde:

σ' - incremento do vetor tensão efetiva;

 $\mathbf{F}_{\mathbf{T}}$  - incremento do vetor de força de superfície efetiva na descontinuidade;

p - incremento de poro-pressão;

O vetor m da expressão (4.2) faz com que a poro-pressão seja somada apenas às componentes normais de tensão. A i-ésima componente do vetor m assume o valor um para as componentes normais de tensão e zero para as componentes cisalhantes. Referente ao incremento de força de superfície efetiva, a multiplicação por -1 garante que o trabalho realizado por ela seja negativo.

O vetor  $m_F$  tem a mesma função do vetor m, diferenciando-se apenas na forma. Como a descontinuidade tem uma orientação qualquer em relação ao eixo x do sistema global,  $m_F$  pode ser definido como o vetor unitário normal à descontinuidade ( $n_F$ ). Considerando um intervalo infinitesimal de uma descontinuidade (ilustrado na Figura 4-2, página 101), as componentes do vetor  $m_F$  podem ser associadas aos módulos dos cossenos diretores  $\varphi_x$  e  $\varphi_y$  segundo a expressão (4.3).

$$\mathbf{m}_{\mathbf{F}} = \begin{cases} |\cos(\varphi_{\mathbf{x}})| \\ |\cos(\varphi_{\mathbf{y}})| \end{cases} \tag{4.3}$$

Onde:

 $\phi_x$  - ângulo entre o vetor unitário normal à descontinuidade e o eixo x global;

 $\phi_y$  - ângulo entre o vetor unitário normal à descontinuidade e o eixo y global.

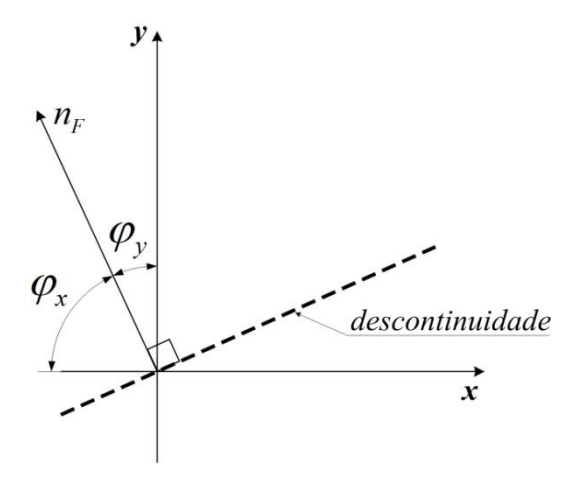


Figura 4-2: Orientação de um infinitésimo da descontinuidade em relação ao sistema de eixo global

O módulo do cosseno diretor é adotado na expressão (4.3) para garantir que a poro-pressão tenha sempre um valor positivo. Para geometrias tridimensionais, a mesma definição do vetor  $m_F$  é válida devendo-se adicionar o cosseno diretor em relação ao eixo z.

Seguindo a formulação apresentada por Lewis e Schrefler (1982) e desprezando qualquer deformação referente à *creep*, processo térmico ou químico, o incremento de tensão efetiva pode ser relacionado à deformação do meio poroso pela relação:

$$\dot{\sigma}' = \mathbf{D} \cdot \left( \dot{\mathbf{\epsilon}} - \dot{\mathbf{\epsilon}}_{\mathbf{p}} \right) \tag{4.4}$$

Onde:

**D** - matriz constitutiva;

ė - incremento do vetor deformação total do esqueleto sólido;

 $\dot{\epsilon}_p$  - incremento do vetor deformação dos grãos relacionada à variação de poro-pressão.

Adotando que a poro-pressão causa apenas uma deformação volumétrica na partícula sólida (grão), Lewis e Schrefler definiram que:

$$\dot{\mathbf{\epsilon}}_{\mathbf{p}} = -\frac{1}{3K_{\mathbf{S}}}\mathbf{m}\,\dot{\mathbf{p}}\tag{4.5}$$

Onde:

Ks - módulo de variação volumétrica da partícula sólida.

A divisão por 3 surge da hipótese de que o grão deforma-se igualmente em todas as direções, logo, em um sistema cartesiano, os incrementos  $\dot{\varepsilon}_p$  nas direções x, y e z são iguais. O sinal negativo na expressão (4.5) indica que para um aumento de poro-pressão ocorre uma redução no volume do grão.

Analogamente ao incremento de tensão efetiva, é possível estabelecer uma relação entre incremento de força de superfície efetiva e salto de deslocamento.

$$\dot{\mathbf{F}}_{\mathbf{T}}' = \mathbf{D}_{\mathbf{F}}(\|\dot{\mathbf{u}}\| - \|\dot{\mathbf{u}}\|_{\mathbf{p}}) \tag{4.6}$$

 $D_F$  - matriz constitutiva da descontinuidade;

 $\|\dot{\boldsymbol{u}}\|$  – incremento de salto de deslocamento total da descontinuidade;

 $\|\dot{\pmb{u}}\|_p$  - incremento de salto de deslocamento relacionado à deformação dos grãos devido a poro-pressão.

Assumindo que os grãos localizados dentro e fora da descontinuidade têm comportamento idêntico e que apenas a componente normal de salto  $\|\dot{\mathbf{u}}\|_p$  contribui para a variação volumétrica, semelhante ao incremento  $\dot{\epsilon}_p$ , a seguinte relação é estabelecida:

$$\|\dot{\mathbf{u}}\|_{\mathbf{p}} = -\frac{\mathbf{e}}{3K_{\mathbf{S}}}\mathbf{m}_{\mathbf{F}}\,\dot{\mathbf{p}}\tag{4.7}$$

A expressão (4.7) foi obtida a partir da interpretação de que deformação do grão na direção normal à descontinuidade é igual à divisão do incremento de salto  $\|\dot{\mathbf{u}}\|_{\mathbf{p}}$  pela espessura da descontinuidade (e).

Introduzindo as expressões (4.4) a (4.7) na expressão (4.2) tem-se:

$$\dot{\boldsymbol{\sigma}} = \mathbf{D}\dot{\boldsymbol{\epsilon}} + \left(-\mathbf{m} + \frac{1}{3K_{S}}\mathbf{D}\mathbf{m}\right)\dot{\mathbf{p}}$$

$$\dot{\mathbf{F}}_{T} = -\mathbf{D}_{F}||\dot{\mathbf{u}}|| + \left(\mathbf{m}_{F} - \frac{e}{3K_{S}}\mathbf{D}_{F}\mathbf{m}_{F}\right)\dot{\mathbf{p}}$$
(4.8)

Inserindo a expressão (4.8) na expressão (4.1), multiplicando a expressão resultante por -1 para tornar a tensão de compressão positiva (Engenharia Geotécnica) e passando os termos referentes à descontinuidade para o lado esquerdo da expressão, define-se a equação de equilíbrio do acoplamento fluidomecânico por:

$$-\int_{\Omega} \boldsymbol{\delta} \boldsymbol{\epsilon} \cdot \mathbf{D} \cdot \dot{\boldsymbol{\epsilon}} \, d\Omega - \int_{\Gamma_{f}} \boldsymbol{\delta} \|\mathbf{u}\| \cdot \mathbf{D}_{F} \cdot \|\dot{\mathbf{u}}\| \, d\Gamma_{F} +$$

$$\int_{\Omega} \boldsymbol{\delta} \boldsymbol{\epsilon} \cdot \left(\mathbf{m} - \frac{1}{3K_{S}} \mathbf{D} \mathbf{m}\right) \cdot \dot{\mathbf{p}} \, d\Omega + \int_{\Gamma_{f}} \boldsymbol{\delta} \|\mathbf{u}\| \cdot \left(\mathbf{m}_{F} - \frac{e}{3K_{S}} \mathbf{D}_{F} \mathbf{m}_{F}\right) \cdot \dot{\mathbf{p}} \, d\Gamma_{F}$$

$$= -\int_{\Omega} \boldsymbol{\delta} \mathbf{u} \cdot \dot{\mathbf{F}}_{b} \, d\Omega - \int_{\Gamma_{c}} \boldsymbol{\delta} \mathbf{u} \cdot \dot{\mathbf{F}}_{s} \, d\Gamma_{S}$$

$$(4.9)$$

Na expressão (4.9), os termos do lado direito da igualdade representam a ação das forças externas sobre o meio poroso. Do lado esquerdo, os dois primeiros termos têm a mesma interpretação da equação de equilíbrio da seção 2.3. O terceiro e quarto termos introduzem o acoplamento e representam a parcela do carregamento suportado pelo fluido e a variação volumétrica dos grãos devido à variação de poro-pressão respectivamente.

## 4.2. Equação de fluxo

Ao estabelecer a equação de fluxo no capítulo 3, admitiu-se uma diferença no tratamento dos fluxos normal e tangencial à descontinuidade. Esta abordagem permitiu introduzir uma variação brusca e outra suave de poro-pressão (salto) na descontinuidade. Além disso, afirmou-se que o fluxo ao longo da direção tangencial à descontinuidade e o da região fora dela poderiam ser representados pela mesma equação, devendo-se trocar apenas os parâmetros de material.

Ao estender a equação de fluxo para o acoplamento fluido-mecânico, todas as hipóteses do capítulo 3 são utilizadas, exceto a que despreza o termo de acoplamento. Como o comportamento mecânico deve ser inserido, dois termos de acoplamento ligados ao deslocamento e ao salto surgem. Isso obriga o estabelecimento de duas equações diferenciais: uma para a descontinuidade e outra para a região fora dela. Apesar dessa mudança, o significado e a forma das equações de fluxo das duas regiões são os mesmos.

Os termos que permitem acoplar a equação de fluxo ao comportamento mecânico serão introduzidos primeiro para a região fora da descontinuidade. Esta aproximação já existe e foi apresentada por Lewis e Schrefler (1982). Em seguida, por analogia, os termos de acoplamento são inseridos para a descontinuidade.

Fazendo referência à Figura 4-1, definiu-se, no capítulo 3, que a equação de fluxo para um corpo cortado por uma descontinuidade em um ponto qualquer possui a forma:

$$-\nabla \cdot \left\{ \frac{\mathbf{k}}{\mu} \cdot \nabla (\mathbf{p} + \rho \mathbf{gh}) \right\} + \left( \frac{\mathbf{\phi}}{K_f} + \frac{1 - \mathbf{\phi}}{K_s} \right) \frac{\partial \mathbf{p}}{\partial t} = 0 \tag{4.10}$$

Ao montar a equação de fluxo (4.10), diferentes fatores que influenciam a variação de fluido no interior de um volume infinitesimal foram enumerados e somados (expressões (3.6) a (3.10)). A fim de acoplar o fluxo de fluido ao comportamento mecânico para a região fora da descontinuidade, dois fatores anteriormente desprezados na montagem da equação (4.10) devem ser incluídos. Tratam-se da deformação volumétrica do meio poroso e das partículas sólidas. Como citado no capítulo 3, estes fatores são:

> Taxa de deformação volumétrica do meio poroso

$$\dot{\mathbf{\epsilon}}_{\mathbf{v}} = \mathbf{m}^{\mathsf{T}} \dot{\mathbf{\epsilon}} \tag{4.11}$$

Taxa de deformação volumétrica das partículas sólidas devido à mudança na tensão efetiva

$$-\frac{1}{3K_{S}}\mathbf{m}^{\mathsf{T}}\dot{\mathbf{\sigma}}'\tag{4.12}$$

O sinal negativo na expressão (4.12) indica que para uma redução no volume da partícula sólida ocorre um aumento no volume de fluido. Referente à tensão efetiva, ela pode ser substituída pelas variáveis de deformação e poropressão. Inserindo a expressão (4.5) na expressão (4.4), o incremento de tensão efetiva torna-se:

$$\dot{\mathbf{\sigma}}' = \mathbf{D} \left( \dot{\mathbf{\epsilon}} + \frac{1}{3K_{S}} \mathbf{m} \,\dot{\mathbf{p}} \right) \tag{4.13}$$

Introduzindo a expressão (4.13) em (4.12), a taxa de deformação volumétrica das partículas sólidas devido à mudança de tensão efetiva pode ser reescrita na forma:

$$-\frac{1}{3K_{S}}\mathbf{m}^{\mathsf{T}}\mathbf{D}\left(\dot{\boldsymbol{\varepsilon}} + \frac{1}{3K_{S}}\mathbf{m}\,\dot{\mathbf{p}}\right) \tag{4.14}$$

Conhecidos os termos de acoplamento para a região fora da descontinuidade, a equação de fluxo (4.10) é estendida. Adicionando os termos de acoplamento (4.11) e (4.14) à equação (4.10), define-se a equação de fluxo para a região fora da descontinuidade considerando o acoplamento por:

$$-\nabla \cdot \left\{ \frac{\mathbf{k}}{\mu} \cdot \nabla (\mathbf{p} + \rho \mathbf{g} \mathbf{h}) \right\} + \left\{ \mathbf{m}^{\mathsf{T}} - \frac{1}{3K_{\mathsf{S}}} \mathbf{m}^{\mathsf{T}} \mathbf{D} \right\} \dot{\boldsymbol{\varepsilon}} + s \dot{\mathbf{p}} = 0$$
 (4.15)

O parâmetro de armazenamento s da equação (4.15) não é o mesmo da equação de fluxo desacoplada (4.10), seu novo valor é:

$$s = \frac{\phi}{K_f} + \frac{1 - \phi}{Ks} + \frac{1}{(3Ks)^2} \mathbf{m}^{\mathsf{T}} \mathbf{D} \mathbf{m}$$
 (4.16)

Os fatores descritos pelas expressões (4.11) e (4.14) permitem acoplar o comportamento mecânico ao fluxo de fluido para a região fora da descontinuidade. Para a descontinuidade, fatores semelhantes são introduzidos.

A expressão (4.11) mostra que a taxa de deformação volumétrica do meio poroso está relacionada apenas às componentes normais de deformação. Este mesmo raciocínio é aplicado à descontinuidade. Por hipótese, a descontinuidade

não é descrita por deformação, mas este valor pode ser aproximado ou idealizado. Dividindo o salto de deslocamento na direção normal pela espessura da descontinuidade, uma variável equivalente à deformação é obtida. Logo:

Taxa de variação volumétrica da descontinuidade

$$\mathbf{m_F}^{\mathrm{T}} \cdot \frac{1}{\mathrm{e}} \| \dot{\mathbf{u}} \| \tag{4.17}$$

Onde:

e - espessura da descontinuidade

O vetor  $m_F$  na expressão (4.17) tem o mesmo significado da equação de equilíbrio e garante que apenas a componente normal de salto de deslocamento seja contabilizada.

Com relação à taxa de deformação das partículas sólidas devido à mudança de tensão efetiva, a expressão (4.12) diz que a deformação dos grãos é obtida pela divisão da tensão média atuante pelo módulo de variação volumétrica dos grãos (Ks). Assumindo que o grão na descontinuidade deforma-se do mesmo modo que fora dela e trocando a tensão efetiva pela força de superfície efetiva, a taxa de variação volumétrica dos grãos na descontinuidade é representada por:

$$-\frac{1}{3Ks} \cdot \mathbf{m_F}^{\mathrm{T}} \cdot \dot{\mathbf{F}}_{\mathbf{T}}' \tag{4.18}$$

Semelhante à tensão efetiva, a força de superfície efetiva pode ser descrita pelo salto de deslocamento e pela poro-pressão na descontinuidade. Substituindo a expressão (4.7) na expressão (4.6), o incremento de força de superfície efetiva torna-se:

$$\dot{\mathbf{F}}_{\mathbf{T}}' = \mathbf{D}_{\mathbf{F}} \left( \|\dot{\mathbf{u}}\| + \frac{\mathbf{e}}{3K_{\mathbf{S}}} \mathbf{m}_{\mathbf{F}} \,\dot{\mathbf{p}} \right) \tag{4.19}$$

Introduzindo a expressão (4.19) em (4.18), a taxa de deformação volumétrica dos grãos devido à mudança de força de superfície efetiva pode ser reescrita como:

$$-\frac{1}{3K_{\mathbf{S}}} \cdot \mathbf{m_{\mathbf{F}}}^{\mathrm{T}} \cdot \mathbf{D_{\mathbf{F}}} \left( \|\dot{\mathbf{u}}\| + \frac{\mathrm{e}}{3K_{\mathbf{S}}} \mathbf{m_{\mathbf{F}}} \,\dot{\mathbf{p}} \right) \tag{4.20}$$

Adicionando os termos de acoplamento (4.17) e (4.20) à expressão (4.10), define-se a equação de fluxo acoplada para a descontinuidade por:

$$-\nabla \cdot \left\{ \frac{\mathbf{k}_{\mathrm{T}}}{\mu} \cdot \nabla (\mathbf{p} + \rho \mathbf{g} \mathbf{h}) \right\} + \left( \frac{1}{e} \mathbf{m}_{\mathrm{F}}^{\mathrm{T}} - \frac{1}{3 \mathrm{Ks}} \mathbf{m}_{\mathrm{F}}^{\mathrm{T}} \mathbf{D}_{\mathrm{F}} \right) \|\dot{\mathbf{u}}\| + s_{\mathrm{F}} \dot{\mathbf{p}} = 0 \tag{4.21}$$

Sendo o parâmetro de armazenamento na descontinuidade (s<sub>F</sub>):

$$s_{F} = \frac{\phi}{K_{f}} + \frac{1 - \phi}{K_{S}} + \frac{e}{(3K_{S})^{2}} \mathbf{m}_{F}^{T} \mathbf{D}_{F} \mathbf{m}_{F}$$
 (4.22)

As expressões (4.21) e (4.15) são as equações de fluxo acopladas para a descontinuidade e para a região fora dela. Apesar de diferentes, os seus termos possuem os mesmos significados. O primeiro termo do lado esquerdo da igualdade indica a variação que o fluxo sofre ao atravessar um volume infinitesimal de meio poroso, o segundo e terceiro termos indicam a variação de fluido no interior do volume infinitesimal.

Conhecidas as equações de fluxo diferenciais (4.15) e (4.21), elas são agora integradas sobre os domínios  $\Omega$  e  $\Gamma_F$ . Quanto ao processo de integração, apenas uma observação é feita. Diferente da equação de equilíbrio, a área da seção transversal da descontinuidade deve ser considerada. O motivo é que o fluxo sempre é associado ao volume de um corpo.

Ao serem colocadas estas observações e mantendo os símbolos  $\Gamma_F$  e  $\Omega$  para designar a descontinuidade e a região fora dela, a equação de fluxo, considerando o acoplamento para um corpo cortado por uma descontinuidade, é definida por:

$$\int_{\Omega} \left( -\nabla \cdot \left\{ \frac{\mathbf{k}}{\mu} \cdot \nabla (\mathbf{p} + \rho \mathbf{g} \mathbf{h}) \right\} + \left( \mathbf{m}^{\mathsf{T}} - \frac{1}{3 \mathrm{Ks}} \mathbf{m}^{\mathsf{T}} \mathbf{D} \right) \dot{\boldsymbol{\epsilon}} + s \dot{\mathbf{p}} \right) d\Omega + 
\int_{\Gamma_{\mathsf{P}}} \left( -\nabla \cdot \left\{ \frac{\mathbf{k}_{\mathsf{T}}}{\mu} \cdot \nabla (\mathbf{p} + \rho \mathbf{g} \mathbf{h}) \right\} + \left( \frac{1}{e} \mathbf{m}_{\mathsf{F}}^{\mathsf{T}} - \frac{1}{3 \mathrm{Ks}} \mathbf{m}_{\mathsf{F}}^{\mathsf{T}} \mathbf{D}_{\mathsf{F}} \right) |\dot{\mathbf{u}}| + s_{\mathsf{F}} \dot{\mathbf{p}} \right) A_{\mathsf{F}} d\Gamma_{\mathsf{F}} = 0$$
(4.23)

Onde:

A<sub>F</sub> - área da seção transversal da descontinuidade.

Para um corpo bidimensional com profundidade unitária, o valor da área  $A_F$  é igual ao próprio valor da espessura da descontinuidade (expressão (4.24)).

$$A_{F} = 1 \cdot e \tag{4.24}$$

Esta consideração permite reescrever a equação (4.23) como:

$$\begin{split} &\int_{\Omega} \left( - \boldsymbol{\nabla} \cdot \left\{ \frac{\boldsymbol{k}}{\mu} \cdot \boldsymbol{\nabla} (p + \rho g h) \right\} + \left( \boldsymbol{m}^{T} - \frac{1}{3 K s} \boldsymbol{m}^{T} \boldsymbol{D} \right) \dot{\boldsymbol{\epsilon}} + s \dot{p} \right) d\Omega \ + \\ &\int_{\Gamma_{F}} \left( - \boldsymbol{\nabla} \cdot \left\{ \frac{\boldsymbol{k}_{T}}{\mu} \cdot \boldsymbol{\nabla} (p + \rho g h) \right\} e \ + \ \left( \boldsymbol{m}_{F}^{T} - \frac{e}{3 K s} \boldsymbol{m}_{F}^{T} \boldsymbol{D}_{F} \right) |\dot{\boldsymbol{u}}| + \ s_{F} \dot{p} \ e \right) \ d\Gamma_{F} = \ 0 \end{split} \tag{4.25}$$

Ao considerar a área da seção transversal, nota-se que o termo de acoplamento da equação de fluxo (4.25) é o mesmo da equação de equilíbrio (4.9). Adotando a notação do capítulo 3, as integrais de fluxo nos domínios  $\Omega$  e  $\Gamma_F$  passarão a ser representadas pelos termos C' e C'' respectivamente, permitindo definir a equação de fluxo para o corpo da Figura 4-1 como:

$$C' + C'' = 0$$
 (4.26)

As condições de contorno de poro-pressão e fluxo prescrito são as mesmas da seção 3.1.

## 4.3. Aplicação do Método de Elementos Finitos às equações de equilíbrio e fluxo de fluido

A aplicação do MEF às equações de equilíbrio e fluxo de fluido para um corpo cortado por uma descontinuidade segue os mesmos procedimentos descritos nos capítulos 2 e 3. Por essa razão, detalhes referentes à aproximação dos campos de deslocamento e poro-pressão e integração não são feitos.

Empregando as aproximações de deslocamento, deformação e poro-pressão (expressões (2.55), (2.56) e (3.37)), define-se a equação de equilíbrio do acoplamento fluido-mecânico para o elemento enriquecido por:

$$\begin{split} &-\int_{\Omega_{e}} [\mathbf{B}^{\alpha} \quad \mathbf{B}^{\beta}]^{T} \cdot \mathbf{D} \cdot [\mathbf{B}^{\alpha} \quad \mathbf{B}^{\beta}] \, \mathrm{d}\Omega_{e} \, \left\{ \begin{matrix} \dot{\mathbf{u}}^{\alpha} \\ \dot{\mathbf{u}}^{\beta} \end{matrix} \right\} \\ &-\int_{\Gamma_{F_{e}}} [\mathbf{0} \quad \mathbf{N}^{\beta}]^{T} \cdot \mathbf{D}_{F} \cdot [\mathbf{0} \quad \mathbf{N}^{\beta}] \, \mathrm{d}\Gamma_{F_{e}} \, \left\{ \begin{matrix} \dot{\mathbf{u}}^{\alpha} \\ \dot{\mathbf{u}}^{\beta} \end{matrix} \right\} \, + \\ &-\int_{\Omega_{e}} [\mathbf{B}^{\alpha} \quad \mathbf{B}^{\beta}]^{T} \cdot \left( \mathbf{m} - \frac{1}{3K_{S}} \mathbf{D} \mathbf{m} \right) \cdot [\mathbf{N}^{\alpha} \quad \mathbf{N}^{\beta}] \, \left\{ \begin{matrix} \dot{\mathbf{p}}^{\alpha} \\ \dot{\mathbf{p}}^{\beta} \end{matrix} \right\} \, \mathrm{d}\Omega_{e} \, + \\ &-\int_{\Gamma_{F_{e}}} [\mathbf{0} \quad \mathbf{N}^{\beta}]^{T} \cdot \left( \mathbf{m}_{F} - \frac{e}{3K_{S}} \mathbf{D}_{F} \mathbf{m}_{F} \right) \cdot [\mathbf{N}^{f}] \, \left\{ \begin{matrix} \dot{\mathbf{p}}^{\alpha} \\ \dot{\mathbf{p}}^{\beta} \end{matrix} \right\} \, \mathrm{d}\Gamma_{F_{e}} \\ &= -\int_{\Omega_{e}} [\mathbf{N}^{\alpha} \quad \mathbf{N}^{\beta}]^{T} \cdot \dot{\mathbf{F}}_{b} \mathrm{d}\Omega_{e} - \int_{\Gamma_{S_{e}}} [\mathbf{N}^{\alpha} \quad \mathbf{N}^{\beta}]^{T} \cdot \dot{\mathbf{F}}_{s} \mathrm{d}\Gamma_{S_{e}} \end{split} \tag{4.27}$$

O vetor  $N^f$  da expressão (4.27) é o mesmo apresentado item 3.2.2. Referente às integrais ao longo de  $\Gamma_F$ , um vetor linha nulo ( $\mathbf{0}$ ) foi incluído para eliminar a contribuição dos graus de liberdade  $\dot{u}^{\alpha}$ , tratando-se apenas de uma notação matricial.

Utilizando as aproximações dos campos de deformação, salto de deslocamento, poro-pressão e gradiente de poro-pressão (expressões (2.55), (2.56), (3.37) e (3.38)), define-se a forma aproximada dos termos C' e C'' da equação de fluxo (4.26) por:

$$C_{e}' = \int_{\Omega_{e}} [\mathbf{B}_{\mathbf{p}}^{\alpha} \quad \mathbf{B}_{\mathbf{p}}^{\beta}]^{T} \cdot \frac{\mathbf{k}}{\mu} \cdot [\mathbf{B}^{\alpha} \quad \mathbf{B}^{\beta}] d\Omega_{e} \begin{Bmatrix} \mathbf{p}^{\alpha} \\ \mathbf{p}^{\beta} \end{Bmatrix} +$$

$$\int_{\Omega_{e}} [\mathbf{N}^{\alpha} \quad \mathbf{N}^{\beta}]^{T} \cdot (\mathbf{m}^{T} - \frac{1}{3Ks} \mathbf{m}^{T} \mathbf{D}) \cdot [\mathbf{B}^{\alpha} \quad \mathbf{B}^{\beta}] d\Omega_{e} \begin{Bmatrix} \dot{\mathbf{u}}^{\alpha} \\ \dot{\mathbf{u}}^{\beta} \end{Bmatrix} +$$

$$\int_{\Omega_{e}} [\mathbf{N}^{\alpha} \quad \mathbf{N}^{\beta}]^{T} \cdot \mathbf{s} \cdot [\mathbf{N}^{\alpha} \quad \mathbf{N}^{\beta}] d\Omega_{e} \begin{Bmatrix} \dot{\mathbf{p}}^{\alpha} \\ \dot{\mathbf{p}}^{\beta} \end{Bmatrix} +$$

$$\int_{\Omega_{e}} [\mathbf{B}_{\mathbf{p}}^{\alpha} \quad \mathbf{0}]^{T} \cdot \frac{\mathbf{k}}{\mu} \cdot \nabla \rho \operatorname{gh} d\Omega_{e} + \int_{\Gamma_{q_{e}}} [\mathbf{N}^{\alpha} \quad \mathbf{N}^{\beta}]^{T} \cdot \overline{\mathbf{q}} d\Gamma_{q_{e}}$$

$$(4.28)$$

$$C_{e}^{"} = \int_{\Gamma_{F_{e}}} (\mathbf{N}^{\beta})^{T} \cdot \frac{\mathbf{k}_{n}}{\mu} \cdot \frac{1}{e} \cdot \mathbf{N}^{\beta} d\Gamma_{F_{e}} \mathbf{p}^{\beta} + \int_{\Gamma_{F_{e}}} (\mathbf{B}_{\mathbf{p}}^{\mathbf{f}})^{T} \cdot \frac{\mathbf{k}_{T}}{\mu} \cdot \mathbf{B}_{\mathbf{p}}^{\mathbf{f}} e d\Gamma_{F_{e}} \left\{ \mathbf{p}^{\alpha} \right\} + \int_{\Gamma_{F_{e}}} (\mathbf{N}^{\mathbf{f}})^{T} \cdot \left( \mathbf{m}_{F}^{T} - \frac{e}{3K_{S}} \mathbf{m}_{F}^{T} \mathbf{D}_{F} \right) \cdot \mathbf{N}^{\beta} d\Gamma_{F_{e}} \dot{\mathbf{u}}^{\beta} + \int_{\Gamma_{F}^{e}} (\mathbf{N}^{\mathbf{f}})^{T} \cdot \mathbf{s}_{F} \cdot \mathbf{N}^{\mathbf{f}} e d\Gamma_{F_{e}} \left\{ \dot{\mathbf{p}}^{\alpha} \right\}$$

$$+ \int_{\Gamma_{F_{e}}} (\mathbf{B}_{\mathbf{p}}^{\mathbf{f}})^{T} \cdot \frac{\mathbf{k}_{T}}{\mu} \cdot \nabla \rho gh d\Gamma_{F}^{e} + \int_{\Gamma_{q}^{\mathbf{f}}} (\mathbf{N}^{\mathbf{f}})^{T} \overline{\mathbf{q}} d\Gamma_{q}^{\mathbf{f}}$$

$$(4.29)$$

O termo  $\mathbf{B_p^f}$  na expressão (4.29) é a matriz gradiente associada à poropressão ao longo da descontinuidade apresentada no item 3.2.2. A equação de fluxo acoplada para o elemento enriquecido é obtida somando-se as expressões (4.28) e (4.29) como mostrado na equação (4.30).

$$C_{\rm e}' + C_{\rm e}'' = 0 ag{4.30}$$

As equações de equilíbrio (4.27) e fluxo de fluido (4.30) podem ser reescritas, em um modo mais compacto, nas equações (4.31) e (4.32) respectivamente por:

$$\mathbf{K_e} \cdot \dot{\mathbf{u}}_{\mathbf{e}} + \mathbf{L_e} \cdot \dot{\mathbf{p}}_{\mathbf{e}} = \dot{\mathbf{F}}_{\mathbf{e}} \tag{4.31}$$

$$\mathbf{H_e} \cdot \mathbf{u_e} + \mathbf{S_e} \cdot \dot{\mathbf{p}_e} + \mathbf{L_e^T} \cdot \dot{\mathbf{u}_e} = \mathbf{Q_e}$$
 (4.32)

K<sub>e</sub>, H<sub>e</sub>, S<sub>e</sub> e L<sub>e</sub> são as matrizes de rigidez, permeabilidade, armazenamento e de acoplamento do elemento enriquecido. Seguindo a mesma notação dos capítulos 2 e 3, cada matriz tem a forma:

$$K_{e} = \begin{bmatrix} K_{e}^{\alpha\alpha} & K_{e}^{\alpha\beta} \\ K_{e}^{\beta\alpha} & K_{e}^{\beta\beta} \end{bmatrix}, H_{e} = \begin{bmatrix} H_{e}^{\alpha\alpha} & H_{e}^{\alpha\beta} \\ H_{e}^{\beta\alpha} & H_{e}^{\beta\beta} \end{bmatrix}$$

$$L_{e} = \begin{bmatrix} L_{e}^{\alpha\alpha} & L_{e}^{\alpha\beta} \\ L_{e}^{\beta\alpha} & L_{e}^{\beta\beta} \end{bmatrix}, S_{e} = \begin{bmatrix} S_{e}^{\alpha\alpha} & S_{e}^{\alpha\beta} \\ S_{e}^{\beta\alpha} & S_{e}^{\beta\beta} \end{bmatrix}$$

$$(4.33)$$

Onde:

$$\mathbf{K}_{\mathbf{e}}^{\alpha\alpha} = \int_{\Omega_{e}} (\mathbf{B}^{\alpha})^{\mathrm{T}} \cdot \mathbf{D} \cdot \mathbf{B}^{\alpha} \, \mathrm{d}\Omega_{e}$$

$$\mathbf{K}_{\mathbf{e}}^{\alpha\beta} = \int_{\Omega_{e}} (\mathbf{B}^{\alpha})^{\mathrm{T}} \cdot \mathbf{D} \cdot \mathbf{B}^{\beta} \, \mathrm{d}\Omega_{e}$$

$$\mathbf{K}_{\mathbf{e}}^{\beta\alpha} = \int_{\Omega_{e}} (\mathbf{B}^{\beta})^{\mathrm{T}} \cdot \mathbf{D} \cdot \mathbf{B}^{\alpha} \, \mathrm{d}\Omega_{e}$$

$$\mathbf{K}_{\mathbf{e}}^{\beta\beta} = \int_{\Omega_{e}} (\mathbf{B}^{\beta})^{\mathrm{T}} \cdot \mathbf{D} \cdot \mathbf{B}^{\beta} \, \mathrm{d}\Omega_{e} + \int_{\Gamma_{F_{e}}} (\mathbf{N}^{\beta})^{\mathrm{T}} \cdot \mathbf{D}_{\mathbf{F}} \cdot \mathbf{N}^{\beta} \, \mathrm{d}\Gamma_{F_{e}}$$

$$(4.34)$$

$$H_{e}^{\alpha\alpha} = \int_{\Omega_{e}} (B_{p}^{\alpha})^{T} \cdot \frac{\mathbf{k}}{\mu} \cdot B_{p}^{\alpha} d\Omega_{e}$$

$$H_{e}^{\alpha\beta} = \int_{\Omega_{e}} (B_{p}^{\alpha})^{T} \cdot \frac{\mathbf{k}}{\mu} \cdot B_{p}^{\beta} d\Omega_{e}$$

$$H_{e}^{\beta\alpha} = \int_{\Omega_{e}} (B_{p}^{\beta})^{T} \cdot \frac{\mathbf{k}}{\mu} \cdot B_{p}^{\alpha} d\Omega_{e}$$

$$H_{e}^{\beta\beta} = \int_{\Omega_{e}} (B_{p}^{\beta})^{T} \cdot \frac{\mathbf{k}}{\mu} \cdot B_{p}^{\beta} d\Omega_{e} + \int_{\Gamma_{F_{e}}} (N^{\beta})^{T} \cdot \frac{\mathbf{k}_{n}}{\mu} \cdot \frac{1}{e} \cdot N^{\beta} d\Gamma_{F_{e}}$$

$$+ \int_{\Gamma_{F}^{\alpha}} (B_{p}^{\beta})^{T} \cdot \frac{\mathbf{k}_{T}}{\mu} \cdot B_{p}^{\beta} d\Omega_{e} + \int_{\Gamma_{F_{e}}} (N^{\alpha})^{T} \cdot S \cdot N^{\alpha} d\Omega_{e}$$

$$S_{e}^{\alpha\beta} = \int_{\Omega_{e}} (N^{\alpha})^{T} \cdot S \cdot N^{\beta} d\Omega_{e}$$

$$S_{e}^{\alpha\beta} = \int_{\Omega_{e}} (N^{\beta})^{T} \cdot S \cdot N^{\beta} d\Omega_{e}$$

$$L_{e}^{\alpha\beta} = \int_{\Omega_{e}} (B^{\alpha})^{T} \cdot \left(\mathbf{m} - \frac{1}{3K_{S}} \mathbf{D} \mathbf{m}\right) \cdot N^{\alpha} d\Omega_{e}$$

$$L_{e}^{\alpha\beta} = \int_{\Omega_{e}} (B^{\beta})^{T} \cdot \left(\mathbf{m} - \frac{1}{3K_{S}} \mathbf{D} \mathbf{m}\right) \cdot N^{\beta} d\Omega_{e}$$

$$L_{e}^{\beta\beta} = \int_{\Omega_{e}} (B^{\beta})^{T} \cdot \left(\mathbf{m} - \frac{1}{3K_{S}} \mathbf{D} \mathbf{m}\right) \cdot N^{\alpha} d\Omega_{e}$$

$$L_{e}^{\beta\beta} = \int_{\Omega_{e}} (B^{\beta})^{T} \cdot \left(\mathbf{m} - \frac{1}{3K_{S}} \mathbf{D} \mathbf{m}\right) \cdot N^{\beta} d\Omega_{e}$$

$$L_{e}^{\beta\beta} = \int_{\Omega_{e}} (B^{\beta})^{T} \cdot \left(\mathbf{m} - \frac{1}{3K_{S}} \mathbf{D} \mathbf{m}\right) \cdot N^{\beta} d\Omega_{e}$$

$$L_{e}^{\beta\beta} = \int_{\Omega_{e}} (B^{\beta})^{T} \cdot \left(\mathbf{m} - \frac{1}{3K_{S}} \mathbf{D} \mathbf{m}\right) \cdot N^{\beta} d\Omega_{e}$$

$$L_{e}^{\beta\beta} = \int_{\Omega_{e}} (B^{\beta})^{T} \cdot \left(\mathbf{m} - \frac{1}{3K_{S}} \mathbf{D} \mathbf{m}\right) \cdot N^{\beta} d\Omega_{e}$$

$$L_{e}^{\beta\beta} = \int_{\Omega_{e}} (B^{\beta})^{T} \cdot \left(\mathbf{m} - \frac{1}{3K_{S}} \mathbf{D} \mathbf{m}\right) \cdot N^{\beta} d\Omega_{e}$$

$$L_{e}^{\beta\beta} = \int_{\Omega_{e}} (B^{\beta})^{T} \cdot \left(\mathbf{m} - \frac{1}{3K_{S}} \mathbf{D} \mathbf{m}\right) \cdot N^{\beta} d\Omega_{e}$$

$$L_{e}^{\beta\beta} = \int_{\Omega_{e}} (B^{\beta})^{T} \cdot \left(\mathbf{m} - \frac{1}{3K_{S}} \mathbf{D} \mathbf{m}\right) \cdot N^{\beta} d\Omega_{e}$$

$$L_{e}^{\beta\beta} = \int_{\Omega_{e}} (B^{\beta})^{T} \cdot \left(\mathbf{m} - \frac{1}{3K_{S}} \mathbf{D} \mathbf{m}\right) \cdot N^{\beta} d\Omega_{e}$$

Os vetores de força  $(\dot{F}_e)$  e fluxo nodal  $(Q_e)$  são:

$$\dot{\mathbf{F}}_{\mathbf{e}} = \begin{cases} \dot{\mathbf{F}}_{\mathbf{e}}^{\alpha} \\ \dot{\mathbf{F}}_{\mathbf{e}}^{\beta} \end{cases}$$

$$\mathbf{Q}_{\mathbf{e}} = \begin{cases} \mathbf{Q}_{\mathbf{e}}^{\alpha} \\ \mathbf{Q}_{\mathbf{e}}^{\beta} \end{cases}$$
(4.38)

Sendo:

$$\dot{\mathbf{F}}_{\mathbf{e}}^{\alpha} = \int_{\Omega_{e}} (\mathbf{N}^{\alpha})^{\mathrm{T}} \cdot \dot{\mathbf{F}}_{\mathbf{b}} d\Omega_{e} + \int_{\Gamma_{S_{e}}} (\mathbf{N}^{\alpha})^{\mathrm{T}} \cdot \dot{\mathbf{F}}_{\mathbf{s}} d\Gamma_{S_{e}} 
\dot{\mathbf{F}}_{\mathbf{e}}^{\beta} = \int_{\Omega_{e}} (\mathbf{N}^{\beta})^{\mathrm{T}} \cdot \dot{\mathbf{F}}_{\mathbf{b}} d\Omega_{e} + \int_{\Gamma_{S_{e}}} (\mathbf{N}^{\beta})^{\mathrm{T}} \cdot \dot{\mathbf{F}}_{\mathbf{s}} d\Gamma_{S_{e}} 
\mathbf{Q}_{\mathbf{e}}^{\alpha} = \int_{\Omega_{e}} (\mathbf{B}_{\mathbf{p}}^{\alpha})^{\mathrm{T}} \cdot \frac{\mathbf{k}}{\mu} \cdot \nabla \rho gh d\Omega_{e} + \int_{\Gamma_{q_{e}}} (\mathbf{N}^{\alpha})^{\mathrm{T}} \cdot \overline{\mathbf{q}} d\Gamma_{q_{e}} + \int_{\Gamma_{q_{e}}^{\mathbf{F}}} (\mathbf{N}^{\mathbf{f}})^{\mathrm{T}} \overline{\mathbf{q}} d\Gamma_{q_{e}}^{\mathbf{F}} 
\mathbf{Q}_{\mathbf{e}}^{\beta} = \int_{\Omega_{e}} (\mathbf{0})^{\mathrm{T}} \cdot \frac{\mathbf{k}_{\mathbf{T}}}{\mu} \cdot \nabla \rho gh d\Omega_{e} + \int_{\Gamma_{q_{e}}} (\mathbf{N}^{\beta})^{\mathrm{T}} \cdot \overline{\mathbf{q}} d\Gamma_{q_{e}}$$

$$(4.39)$$

A maioria das integrais referentes ao domínio  $\Gamma_{F_e}$  nas expressões (4.34) a (4.39) pode ser obtida analiticamente. Em relação às submatrizes  $\mathbf{K}_e^{\beta\beta}$  e  $\mathbf{L}_e^{\beta\beta}$ , expressões (4.34) e (4.37) respectivamente, deve-se atentar que as integrais ao longo de  $\Gamma_{F_e}$  estão expressas no sistema global de coordenadas. Caso essas integrais sejam resolvidas no sistema de coordenadas da descontinuidade, é necessário introduzir a matriz de rotação antes de adicioná-las à matriz do elemento enriquecido expressa no sistema global. A integral ao longo de  $\Gamma_{F_e}$  presente na submatriz  $\mathbf{K}_e^{\beta\beta}$  deve ser pré e pós-multiplicada pela matriz de rotação, enquanto a integral ao longo de  $\Gamma_{F_e}$  na submatriz  $\mathbf{L}_e^{\beta\beta}$  deve ser apenas prémultiplicada pela matriz de rotação.

Quanto à solução do sistema de equações formado, duas técnicas podem ser aplicadas: *staggered* ou totalmente acoplado. Nessa pesquisa, adota-se o método totalmente acoplado, isto é, as equações de equilíbrio mecânico e de fluxo de fluido são solucionadas ao mesmo tempo.